

Computer-Graphik I

Texturierung



G. Zachmann
Clausthal University, Germany
cg.in.tu-clausthal.de



Motivation

- Was fehlt? ...



"Shutter bug", Pixar

G. Zachmann Computer-Graphik 1 – WS 10/11 Texturen 2

- ... Oberflächendetails

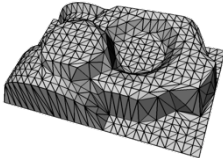




"Shutter bug", Pixar

- Großes Spektrum geometrischer Formen und physikalischer Materialien:
 - Strukturen unebener Oberflächen, z.B. Putzwände, Leder, Schale/Rinde von Orangen, Baumstämme, Maserungen in Holz und Marmor, Tapeten mit Muster, etc.
 - Wolken
 - Objekte im Hintergrund (Häuser, Maschinen, Pflanzen und Personen)
- Solche Objekte durch Flächen nachzubilden ist in der Regel viel zu aufwendig

Grundidee der Texturierung

- Objekt mit Textur „tapezieren“
- Visuelles Detail trotz grober Geometrie

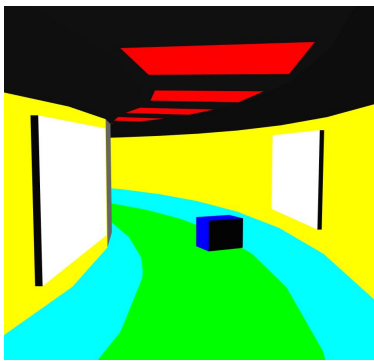
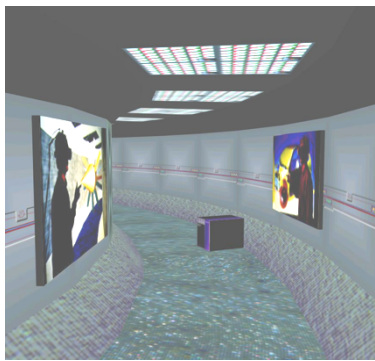

+

=


Objekt (Geometrie)
Textur (Farbe)

- Ursprung: Catmull (1974), Blinn and Newell (1976), u.a.

G. Zachmann Computer-Graphik 1 – WS 10/11
Texturen 5

Weitere Beispiele

G. Zachmann Computer-Graphik 1 – WS 10/11
Texturen 6

- Kaustik durch Texturen verstärkt den Unterwassereindruck



G. Zachmann Computer-Graphik 1 – WS 10/11 Texturen 7


Übersicht

- Arten von Texturen: **diskret** oder **prozedural**
- **Dimension** der Texturen: 1D, 2D, 3D, 4D(?)
- Wichtige Punkte bei den diskreten 2D-Texturen:
 - **Interpolation** der Texturkoordinaten
 - **Anwendung** der Textur auf die **Beleuchtung** o. a. Oberflächeneigensch.
 - **Parametrisierung** der Fläche
 - **Filterung**
- Wie funktioniert es in OpenGL
- **Environment-Mapping**

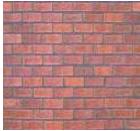
G. Zachmann Computer-Graphik 1 – WS 10/11 Texturen 8

Texturarten

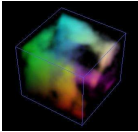
1D Texturen




2D Texturen



3D Texturen



Cubemap Texturen



- Textur kann als Funktion einer, zweier oder dreier Koordinaten, oder als Funktion einer Richtung gesehen werden


G. Zachmann Computer-Graphik 1 – WS 10/11 Texturen 9


Einfacher Fall: 3D-Texturen

- 3D-Texturen nennt man auch Festkörper-Texturen (z.B. Holz und Marmor) ("*solid texture*")
- Die **lokalen Koordinaten** der Obj.oberfläche (x, y, z) indizieren direkt die Textur:

$$(r, g, b) = C_{\text{tex}}(x, y, z)$$
- Die Textur ist also an **jedem** Punkt im Raum definiert
- Das Objekt wird quasi aus dem Texturvolumen "**herausgeschnitzt**"

2D-
Texturierung





3D-
Texturierung

G. Zachmann Computer-Graphik 1 – WS 10/11 Texturen 10

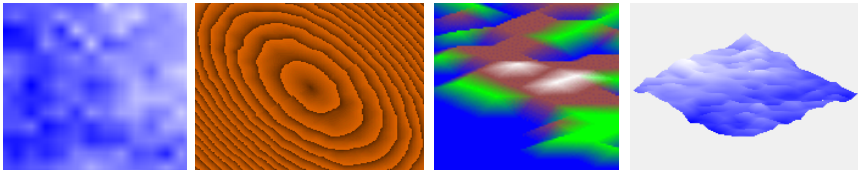
■ Beispiele:



G. Zachmann Computer-Graphik 1 – WS 10/11 Texturen 11

■ Diskrete und prozedurale Texturen

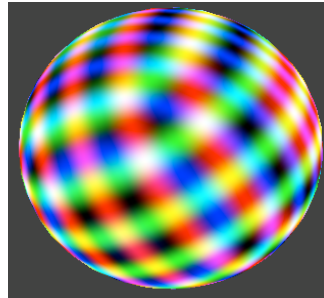
- Man unterscheidet diskrete und prozedurale Texturen
- Eine **diskrete 3D-Textur** = 3-dimensionales Array $C[u,v,w]$
 - $C[u,v,w]$ = Vektor mit 3 Farbkomponenten, ein "Texel" (*texture element*)
 - Pro Pixel benötigt man 3 **Texturkoordinaten** (u,v,w) zum Indizieren in das Array
- **Prozedurale Texturen** werden bei jedem Auslesen aus math. Funktion oder fraktalem Algorithmus berechnet

$$C_{\text{tex}}(x, y, z) := f(x, y, z)$$


G. Zachmann Computer-Graphik 1 – WS 10/11 Texturen 12

- Einfaches Beispiel für eine prozedurale 3D-Textur:

$$C = \begin{pmatrix} \frac{1}{2}(1 + \sin(\frac{\pi}{w_x} P_x)) \\ \frac{1}{2}(1 + \sin(\frac{\pi}{w_y} P_y)) \\ \frac{1}{2}(1 + \sin(\frac{\pi}{w_z} P_z)) \end{pmatrix}$$



- **Vorteile** der prozeduralen Texturen:
 - Speicheraufwand ist minimal
 - Texturwerte können an **jeder** Stelle (u,v) , bzw. (x,y,z) berechnet werden
 - Texturen sind im gesamten Raum definiert (kein Wrap-Around / Clamping)
 - Optimale Genauigkeit (kein Runden von Koord., keine Interpolation)
- **Nachteile:**
 - Schwer zu erzeugen (selbst für Experten)
 - Mindestens Grundkenntnisse der Fourier-Synthese, bzw. fraktaler Geometrie erforderlich
 - Komplexere Texturen sind nahezu unmöglich
 - Kosten rel. viel Zeit (Echtzeit?)

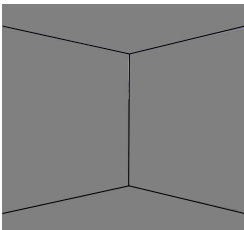
Diskrete 2D-Texturen

- **Vorteile:**
 - Vorrat an Bildern nahezu unerschöpflich
 - Erzeugung ist einfach (z.B. Photographie)
 - Anwendung auf eine Oberfläche ist sehr schnell
- **Nachteile:**
 - Kontext (Sonnenstand, Schattenwurf, etc.) stimmt meist nicht
 - Bilder hoher Auflösung haben großen Speicherbedarf
 - Fortsetzung meist sehr kompliziert
 - Beim Vergrößern und Verkleinern treten Artefakte auf
 - Verzerrung beim Mapping auf beliebige Fläche

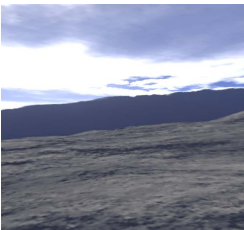
G. Zachmann Computer-Graphik 1 – WS 10/11 Texturen 15

Beispiel 1: Skybox

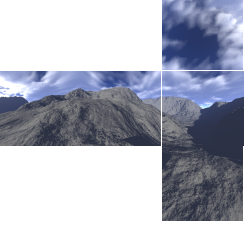
- Die Umgebung einer virtuellen Szenen modelliert man oft durch eine Kugel oder einen Würfel mit entsprechenden Texturen



Ohne Skybox



Die Skybox

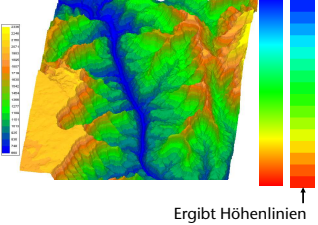
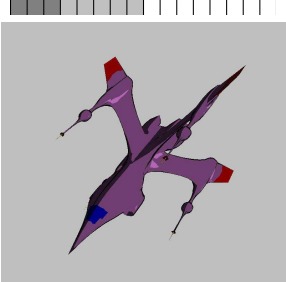


Vom Boden aus

G. Zachmann Computer-Graphik 1 – WS 10/11 Texturen 16

1D Texturen

- In der Visualisierung möchte man oft einen Parameter durch **Falschfarben-darstellung** intuitiv erfassbar machen
 - z.B. Höhe auf einem Terrain, Temperatur ...
 - Verwende dazu eine 1D-Textur mit einer Farbskala
 - Parameter (z.B. Höhe = y-Koord.) → 1D-Textur-Koord.
- Toon Shading:
 - Berechne Punktprodukt des Licht- und des Normalenvektor oder das Skalarprodukt des View- und des Normalenvektors
 - Verwende dieses als Index in die Farbtabelle (1D-Textur)

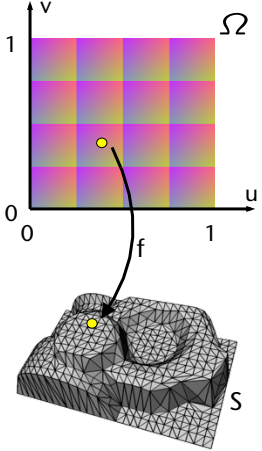
G. Zachmann Computer-Graphik 1 – WS 10/11 Texturen 17

Formalisierung

- Zu texturierendes Objekt $S =$ Dreiecks-Mesh
- Textur** :=
 - Parameterraum Ω
 - Pixelbild oder Funktion (diskret / prozedural)
 - Parametrisierung / Mapping** = Abbildung f zwischen Textur und Objekt:
$$f : \Omega \leftrightarrow S$$
- Texturierung** ist ein 2-stufiger Prozeß
 - Inverses Mapping:

$$(u, v) = f^{-1}(x, y, z)$$
 - Farbe:

$$(r, g, b) = C_{\text{tex}}(u, v)$$



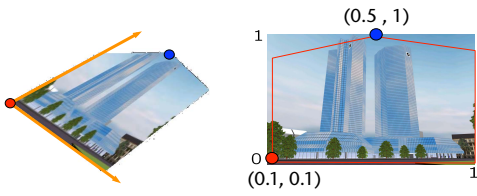
G. Zachmann Computer-Graphik 1 – WS 10/11 Texturen 18

Stückweise lineare Parametrisierung mit Texturkoordinaten

- Texturierung eines kompletten Dreiecksnetzes:



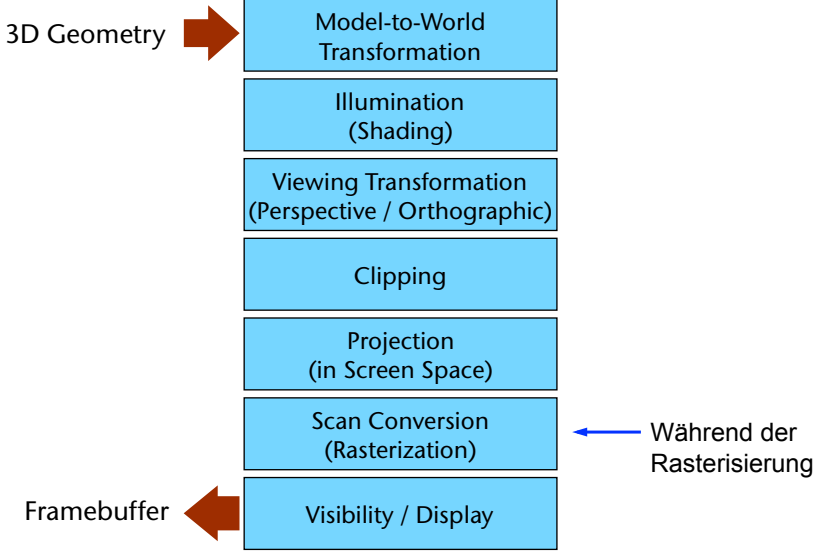
- Für jeden Vertex des Polygon-Meshes müssen zusätzlich **Texturkoordinaten** definiert / berechnet werden, die angeben, welcher Ausschnitt aus der Textur auf das Polygon gemappt wird



```
glBegin( GL_... )
  glTexCoord2f (...);
  glNormal3f (...);
  glVertex3f (...);
  ...
glEnd();
```

G. Zachmann Computer-Graphik 1 – WS 10/11 Texturen 19

Wo in der Pipeline wird texturiert?



3D Geometry →

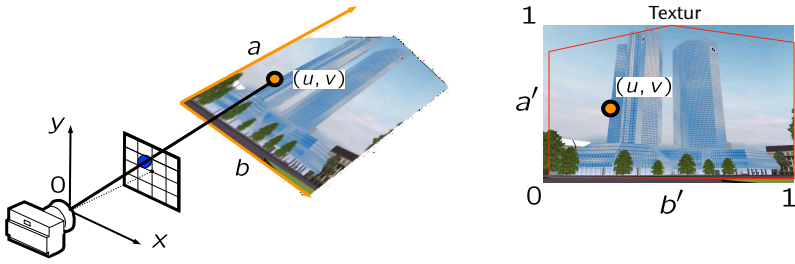
- Model-to-World Transformation
- Illumination (Shading)
- Viewing Transformation (Perspective / Orthographic)
- Clipping
- Projection (in Screen Space)
- Scan Conversion (Rasterization) ← Während der Rasterisierung
- Visibility / Display

Framebuffer ←

G. Zachmann Computer-Graphik 1 – WS 10/11 Texturen 20

Interpolation der Texturkoordinaten

- Bei der Rasterisierung wird für jedes Pixel eine Texturcoordinate (u,v) aus den Texturkoord. der Vertices generiert (= interpoliert)
- Diese bestimmt im Koordinatensystem der Textur das **Texel (= Pixel der Textur)**, das auf das Pixel (im Framebuffer) gemapt wird



G. Zachmann Computer-Graphik 1 – WS 10/11 Texturen 21

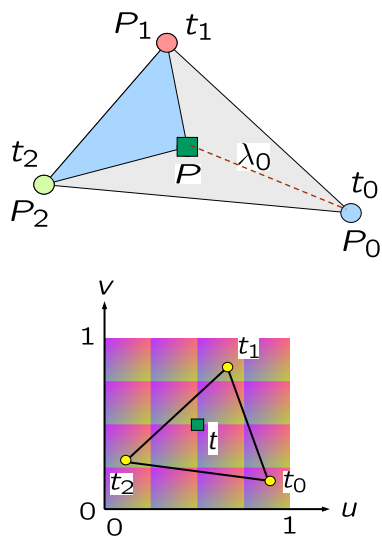
Interpolation der Textur-Koordinaten pro Fragment im Rasterizer

- Erinnerung: baryzentrische Koordinaten

$$\lambda_i(P) = \frac{A(P, P_{i-1}, P_{i+1})}{A(P_0, P_1, P_2)}$$

- Textur-Koordinaten durch baryzentrische Interpolation:

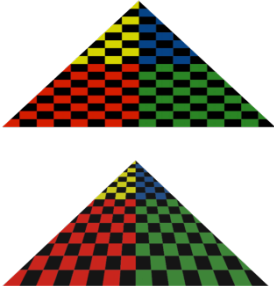

$$t(P) = \sum_{i=0}^2 \lambda_i(P) t_i$$

$$t_i \in \mathbb{R}^2$$


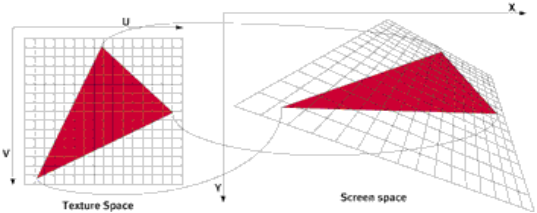
G. Zachmann Computer-Graphik 1 – WS 10/11 Texturen 22

Perspektivisch korrekte Texturkoordinateninterpolation

- Problem: bei dieser einfachen, linearen Interpolation im Screen Space entstehen perspektivisch inkorrekt Bilder!
- Ursache: der Rasterizer hat die T.-Koordinaten nur **nach** der perspektivischen Division!
- Ziel: perspektivisch korrekte Interpolation

Demo (mehr auf der VL-Homepage)



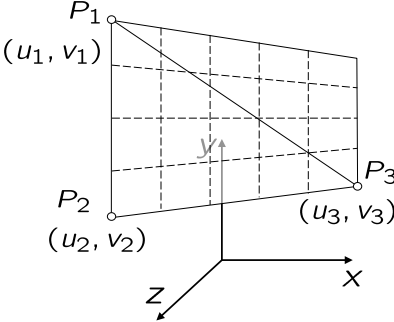
G. Zachmann Computer-Graphik 1 – WS 10/11 Texturen 23

- Erinnerung: was passiert bei der perspektivischen Projektion

$$P_i = \begin{pmatrix} x_i \\ y_i \\ z_i \\ 1 \end{pmatrix} \mapsto \begin{pmatrix} x_i \\ y_i \\ z_i \\ w_i \end{pmatrix} \equiv \begin{pmatrix} x_i/w_i \\ y_i/w_i \\ z_i/w_i \\ 1 \end{pmatrix} \mapsto \begin{pmatrix} x_i/w_i \\ y_i/w_i \end{pmatrix} = \hat{P}_i$$

wobei $w_i = \frac{z_i}{z_0}$,
 $z_0 = \text{Proj.ebene}$

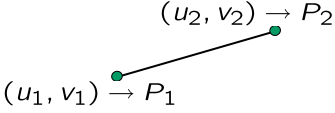
- Erinnerung: baryzentrische Koord. auf dem Rand des Dreiecks = lineare Interpolation zwischen den beiden Ecken



G. Zachmann Computer-Graphik 1 – WS 10/11 Texturen 24

- Betrachte im Folgenden nur die Interpolation auf einer Linie
- Gegeben: t , zur linearen Interpolation zwischen \hat{P}_1 und \hat{P}_2 , d.h.

$$\hat{P}(t) = t\hat{P}_1 + (1 - t)\hat{P}_2$$
- Gesucht: Funktionen f_1, f_2 (möglichst ähnlich zu linearer Interpolation), so daß

$$\begin{pmatrix} u \\ v \end{pmatrix} (t) = f_1(t) \begin{pmatrix} u_1 \\ v_1 \end{pmatrix} + f_2(t) \begin{pmatrix} u_2 \\ v_2 \end{pmatrix}$$
 die "richtigen" Texturkoordinaten für \hat{P} sind
 

G. Zachmann Computer-Graphik 1 – WS 10/11 Texturen 25

- Problem:

$$P(t) = tP_1 + (1 - t)P_2 \quad t \in [0, 1]$$

$$\hat{P}(s) = s\hat{P}_1 + (1 - s)\hat{P}_2 \quad s \in [0, 1], \hat{P}_i = \text{Proj}(P_i)$$
 ergeben zwar dieselbe Gerade auf dem Bildschirm, wenn $P(t)$ projiziert wird, aber i.A. ist

$$\text{Proj}(P(t)) \neq \hat{P}(t) !$$
- Frage: wie sieht $\text{Proj}(P(t))$ aus?

G. Zachmann Computer-Graphik 1 – WS 10/11 Texturen 26

- Gegeben:

$$P(t) = t \begin{pmatrix} x_2 \\ y_2 \\ z_2 \end{pmatrix} + (1-t) \begin{pmatrix} x_1 \\ y_1 \\ z_1 \end{pmatrix}$$

- O.B.d.A. betrachte nur die x-Koordinate:

$$x(t) = tx_2 + (1-t)x_1 \mapsto \frac{tx_2 + (1-t)x_1}{tw_2 + (1-t)w_1}$$

$$\text{wobei } w_i = \frac{z_i}{z_0}$$

- Behauptung:

$$\frac{tx_2 + (1-t)x_1}{tw_2 + (1-t)w_1} = \frac{x_1}{w_1} + \frac{tw_2}{w_1 + t(w_2 - w_1)} \left(\frac{x_2}{w_2} - \frac{x_1}{w_1} \right)$$

- Beweis:

$$\frac{x_1}{w_1} + \frac{tw_2}{w_1 + t(w_2 - w_1)} \left(\frac{x_2}{w_2} - \frac{x_1}{w_1} \right) =$$

$$\frac{x_1(w_1 + t(w_2 - w_1)) + tw_2w_1 \left(\frac{x_2}{w_2} - \frac{x_1}{w_1} \right)}{w_1(w_1 + t(w_2 - w_1))} =$$

$$\frac{x_1w_1 + tw_2x_1 - tw_1x_1 + tw_1x_2 - tw_2x_1}{w_1^2 + tw_2w_1 - tw_1^2} =$$

$$\frac{x_1w_1 - tw_1x_1 + tw_1x_2}{w_1^2 + tw_2w_1 - tw_1^2} = \frac{x_1 - tx_1 + tx_2}{w_1 + tw_2 - tw_1} =$$

$$\frac{x_1 + t(x_2 - x_1)}{w_1 + t(w_2 - w_1)} = \frac{tx_2 + (1-t)x_1}{tw_2 + (1-t)w_1}$$

- Gegeben:

$$\hat{P}(s) = s \begin{pmatrix} \hat{x}_2 \\ \hat{y}_2 \end{pmatrix} + (1 - s) \begin{pmatrix} \hat{x}_1 \\ \hat{y}_1 \end{pmatrix}$$

- Frage: welches s passt zu einem gegebenen t , d.h., für welches s ist

$$\text{Proj}(P(t)) = \hat{P}(s)$$

$$s\hat{x}_2 + (1 - s)\hat{x}_1 = \frac{x_1}{w_1} + s\left(\frac{x_2}{w_2} - \frac{x_1}{w_1}\right)$$

$$\Rightarrow s = \frac{tw_2}{w_1 + t(w_2 - w_1)}$$

$$\Rightarrow t = \frac{sw_1}{w_2 + s(w_1 - w_2)}$$

- Mit diesem t kann man die Texturkoordinaten (u, v) linear interpolieren!

G. Zachmann Computer-Graphik 1 – WS 10/11 Texturen 30

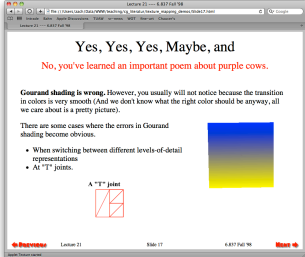
- Analog funktioniert es bei 3 baryzentrischen Koordinaten:

$$u(P) = \frac{\sum_{i=0}^2 \lambda_i(P) u_i}{\sum_{i=0}^2 \lambda_i(P) w_i}$$

G. Zachmann Computer-Graphik 1 – WS 10/11 Texturen 31

Moment Mal!

- War die Interpolation von Farben in Dreiecken falsch?
- Was ist der Unterschied zwischen Interpolation von Farben und der Interpolation von Textur-Koordinaten?!
- Kein Unterschied ...
- Dann hätten wir Farben auch perspektivisch korrekt interpolieren müssen!
- Richtig. Sieht man aber (meistens) nicht ...



The screenshot shows a slide with the following text:

Yes, Yes, Yes, Maybe, and

No, you've learned an important poem about purple cows.

Gouraud shading is wrong. However, you usually will not notice because the transition in colors is very smooth. (And we don't know what the right color should be anyway, all we care about is a pretty picture).

There are some cases where the errors in Gouraud shading become obvious:

- When switching between different levels-of-detail representations
- At "T" joints.

 A diagram shows a triangle with a red 'X' inside, representing a perspective error. To the right is a color gradient from blue to yellow.

G. Zachmann Computer-Graphik 1 – WS 10/11 Texturen 32

Modulation der Beleuchtung durch Texturen

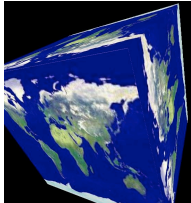
- Wie kann ein Texturwert die Beleuchtungsrechnung beeinflussen? (Was kann man mit einer Textur machen?)
- Erinnerung: das Blinn-Phong-Modell

$$L_{\text{Phong}} = r_a L_a + \sum_j (r_d(\mathbf{n} \cdot \mathbf{l}_j) + r_s(\mathbf{n} \cdot \mathbf{h}_j)^m) L_j$$

G. Zachmann Computer-Graphik 1 – WS 10/11 Texturen 33

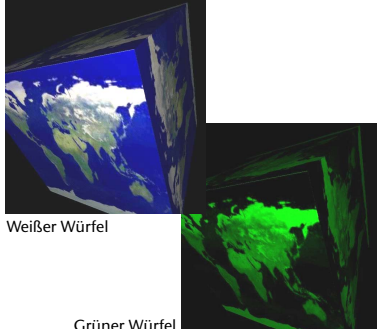
1. Ersetzen der Objektfarbe (*replace*)

- Einfachste Art der Texturierung
- Jegliche Beleuchtung wird entfernt

$$L_{\text{out}} = C_{\text{tex}}(u, v)$$


2. A posteriori Skalierung der Farbe (*modulate*)

- Häufigste Art der Texturierung
- Komponentenweise Skalierung des Farbwertes

$$L_{\text{out}} = L_{\text{Phong}} \cdot C_{\text{tex}}(u, v)$$


G. Zachmann Computer-Graphik 1 – WS 10/11 Texturen 34

3. A priori Skalierung der Materialfarbe

$$r_a = k_a \cdot C_{\text{tex}}(u, v) \quad r_d = k_d \cdot C_{\text{tex}}(u, v)$$

- Erinnerung: Farbe des Objektes wird durch r_a und r_d bestimmt
- Wichtig: im Unterschied zu (2) bleibt der spekulare Anteil von der Textur **unbeeinflusst**
- In OpenGL mittels `GL_SEPARATE_SPECULAR` erreichbar


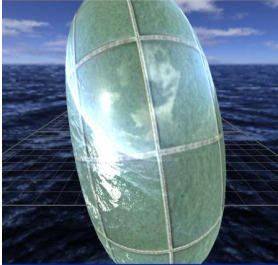
G. Zachmann Computer-Graphik 1 – WS 10/11 Texturen 35

4. Modulation der spekularen Reflexion (*gloss mapping*)

- Analog zu (3) für r_s

$$r_s = k_s \cdot C_{\text{tex}}(u, v)$$

- Erlaubt Modellierung unregelmäßiger "shininess" (z.B. verschmutzte / fettige Flächen)
- Geht nur mit Vertex- und Fragment-Shaders

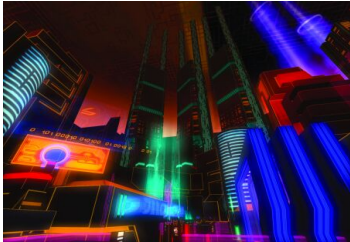



G. Zachmann Computer-Graphik 1 – WS 10/11 Texturen 36

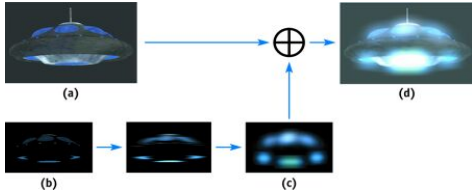
4.1 "Glow"-Effekt:

$$L_{\text{out}} = C_{\text{tex}}(u, v) + L_{\text{Phong}}$$

- For neon signs, TV, laser beams etc.



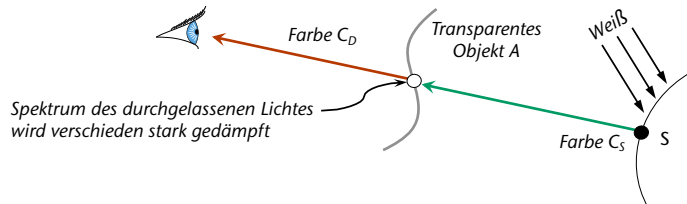
- Solche Effekte (Halos) gehen aber nur mit Multi-Pass-Rendering (Filterung)



G. Zachmann Computer-Graphik 1 – WS 10/11 Texturen 37

Exkurs: das Rendering transparenter Objekte

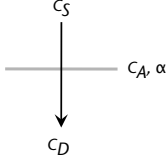
- Transparenz \approx Licht wird von einem Material teilweise durchgelassen, wobei verschiedene Wellenlängen verschieden stark gedämpft werden:



- Approximation: **Alpha-Blending**
 - Objekt A hat die Farbe C_A und eine Transparenz / *Opacity* $\alpha \in [0, 1]$
 - Resultat nach dem Rendern von Objekt A:

$$C_D = \alpha C_A + (1 - \alpha) C_S$$

wobei $C_D / C_S =$ Farbe im Framebuffer nach / vor dem Rendern von Obj. A ist




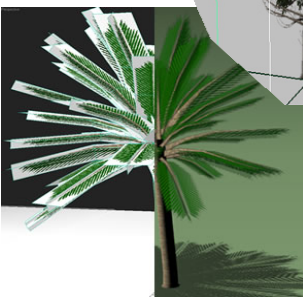

G. Zachmann Computer-Graphik 1 – WS 10/11 Texturen 38

5. Modulation der Transparenz

- Speichern der „Durchsichtigkeit“ in einer Textur:

$$(r, g, b, \alpha)_{x,y} = C_{\text{tex}}(u, v)$$

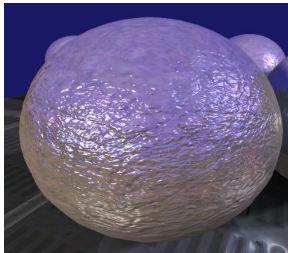
- Pixel mit $\alpha=0$ sind voll durchsichtig und Pixel mit $\alpha=1$ sind voll undurchsichtig (opak)
- Ermöglicht komplexe Umrisse

G. Zachmann Computer-Graphik 1 – WS 10/11 Texturen 39

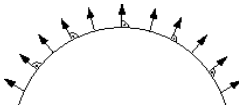
6. Perturbation der Normale (*Bump- / Normal-Mapping*)

- Speichern von Höhenwerten einer Offsetfläche in einer Textur
- Berechnung der korrigierten Normale pro Pixel aus den Höhenwerten (*Bump-Map*):

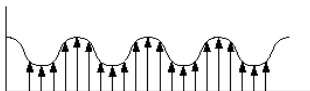
$$\mathbf{n}(x, y) = f(C_{\text{tex}}(u, v))$$


G. Zachmann Computer-Graphik 1 – WS 10/11 Texturen 40


- Ziel: die korrekte Normale aus der einfachen Geometrie + Höhenfeld
- Idee:



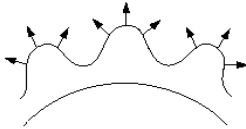
Original-Oberfläche $P(u, v)$
mit Normalen $N(u, v)$



Bump-Map $F(u, v)$



Offset-Oberfläche \hat{P}

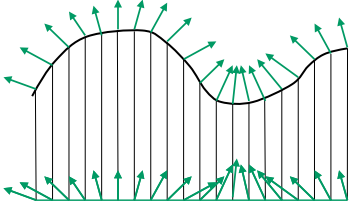


Perturbierte Normalen $\hat{N}(u, v)$

- **Bump-Map** = Offset entlang der orig. Normale = skalare Textur
- Resultierende Oberfläche : $\hat{P}(u, v) = P(u, v) + F(u, v) \frac{N(u, v)}{\|N(u, v)\|}$

G. Zachmann Computer-Graphik 1 – WS 10/11 Texturen 41

- Beobachtung: ins Beleuchtungsmodell geht **nicht direkt** $P(u, v)$, sondern **nur** $N(u, v)$ ein.
- Hauptidee des **Bump-Mapping**: für kleine Unebenheiten genügt Visualisierung von $P(u, v)$ mit Normalen $\hat{N}(u, v)$



- Wie berechnet man $\hat{N}(u, v)$:

$$\hat{N}(u, v) = \hat{P}_u(u, v) \times \hat{P}_v(u, v)$$

G. Zachmann Computer-Graphik 1 – WS 10/11 Texturen 42

- Richtungsableitungen mit Summen- und Kettenregeln:

$$\hat{P}_u(u, v) = P_u(u, v) + F_u(u, v) \frac{N(u, v)}{\|N(u, v)\|} + F(u, v) \frac{d}{du} \frac{N(u, v)}{\|N(u, v)\|}$$

$$\hat{P}_v(u, v) = P_v(u, v) + F_v(u, v) \frac{N(u, v)}{\|N(u, v)\|} + F(u, v) \frac{d}{dv} \frac{N(u, v)}{\|N(u, v)\|}$$
- Falls $F(u, v)$ klein \rightarrow Weglassen des letzten Teilterms:

$$\hat{P}_u(u, v) \approx P_u(u, v) + F_u(u, v) \frac{N(u, v)}{\|N(u, v)\|}$$

$$\hat{P}_v(u, v) \approx P_v(u, v) + F_v(u, v) \frac{N(u, v)}{\|N(u, v)\|}$$

G. Zachmann Computer-Graphik 1 – WS 10/11 Texturen 43

- Für $\hat{N}(u, v)$ folgt damit:

$$\begin{aligned}
 \hat{N} &= \hat{P}_u \times \hat{P}_v \\
 &= P_u \times P_v + F_u \left(\frac{N}{\|N\|} \times P_v \right) + F_v \left(P_u \times \frac{N}{\|N\|} \right) + F_u F_v \left(\frac{N}{\|N\|} \times \frac{N}{\|N\|} \right) \\
 &= P_u \times P_v + F_u \left(\frac{N}{\|N\|} \times P_v \right) + F_v \left(P_u \times \frac{N}{\|N\|} \right) \\
 &= N + \frac{1}{\|N\|} (F_u(N \times P_v) - F_v(N \times P_u))
 \end{aligned}$$

Bemerkungen

- Die Ableitungen F_u und F_v können mit **finiten Differenzen** approximiert werden
- Finite Differenzen auf uniformem Gitter der Gittergröße h (im 1D)

- Vorwärtsdifferenzen: $f'(x_i) = \frac{f(x_{i+1}) - f(x_i)}{h}$

- Rückwärtsdifferenzen: $f'(x_i) = \frac{f(x_i) - f(x_{i-1})}{h}$

- Zentrale Differenzen: $f'(x_i) = \frac{f(x_{i+1}) - f(x_{i-1}))}{2h}$

■ Speicherung:

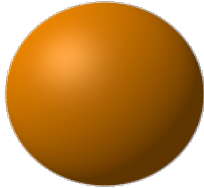
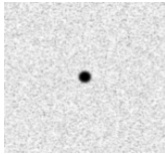

- Höhenfeld als Grauwertbild in Rot-Kanal (z.B. mit Malprogramm erstellt)
- Richtungsableitungen (mit finiten Differenzen berechnet) in G/B speichern

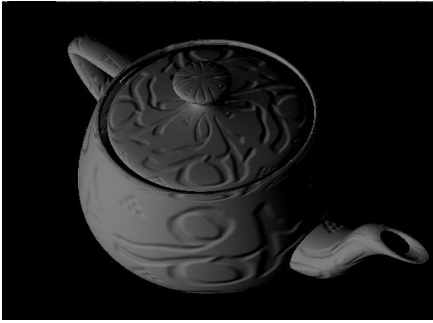

Original Höhenfeld u-Richtungsableitung v-Richtungsableitung

■ Voraussetzung: **Beleuchtung erst bei der Rasterisierung**, oder sehr fein tesselierte Geometrie und dann Berechnung der Normalen an jedem Vertex "von Hand"

G. Zachmann Computer-Graphik 1 – WS 10/11 Texturen 46

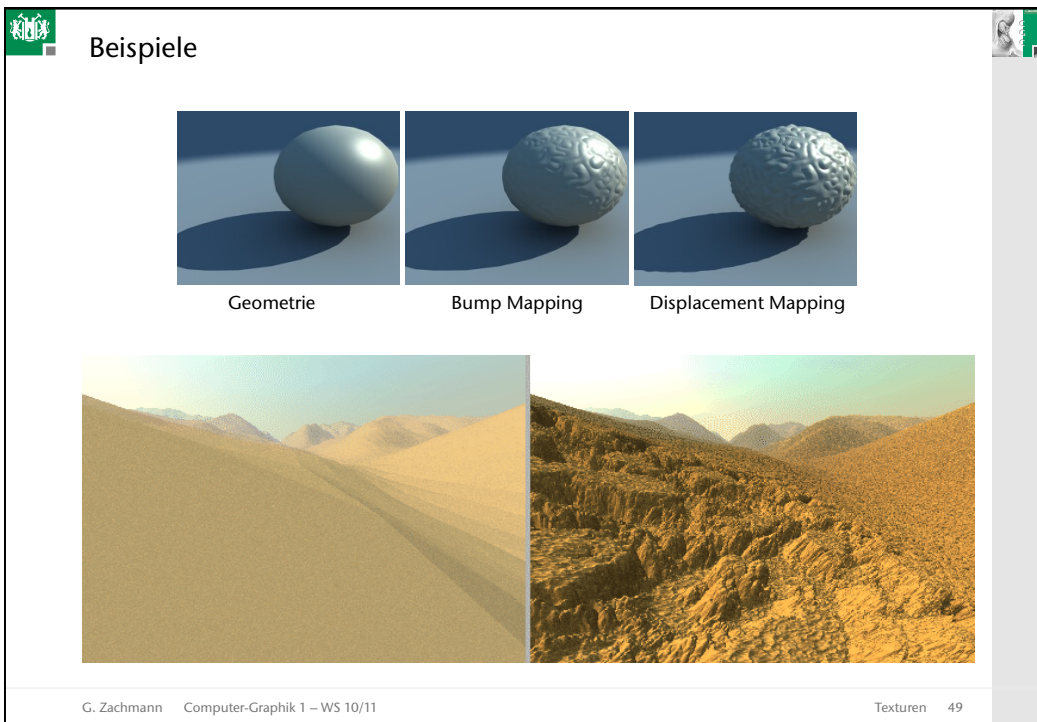
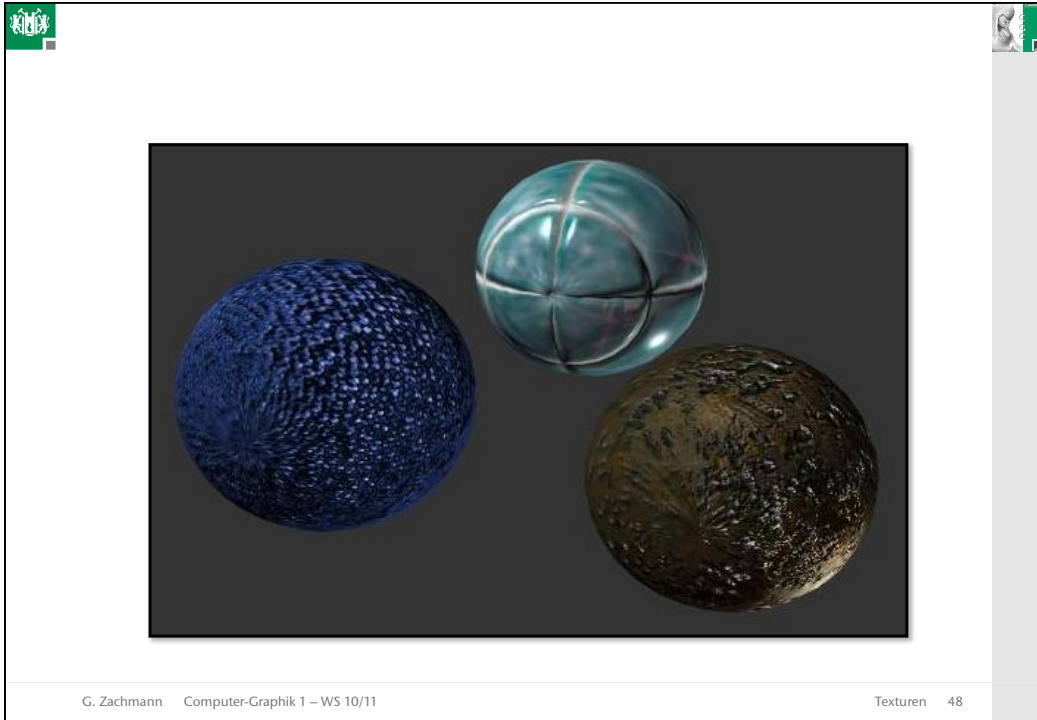
■ Beispiele

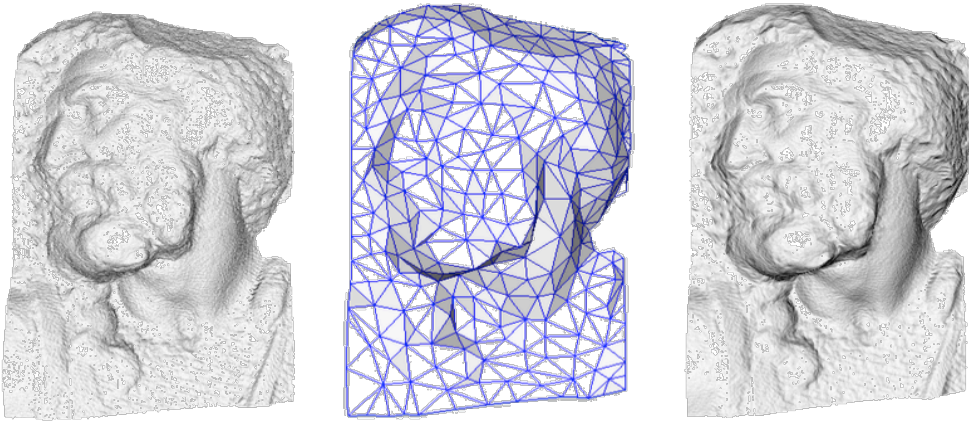
Multi-Textures (Bump und Environment)

G. Zachmann Computer-Graphik 1 – WS 10/11 Texturen 47



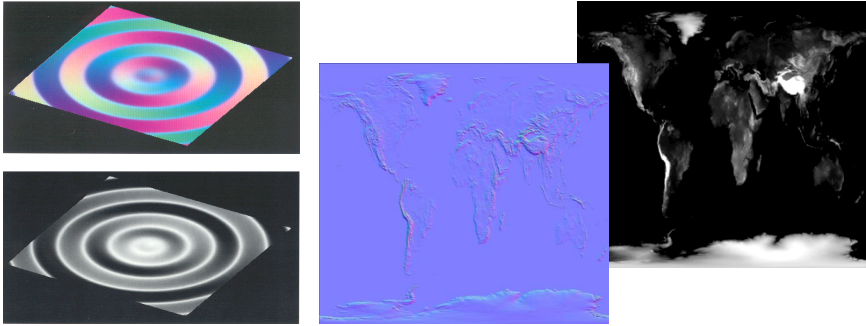
Normal Maps

- Normalen in hoher Auflösung in Textur speichern
- Für niedrig aufgelöste Geometrie

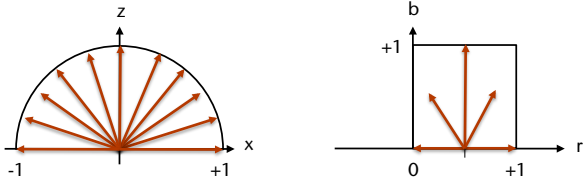


G. Zachmann Computer-Graphik 1 – WS 10/11 Texturen 50

Beispiele:



Kodierung der Normalen:



G. Zachmann Computer-Graphik 1 – WS 10/11 Texturen 51

- Unterschied zwischen Normal Maps und Bump Maps:
 - Bump Maps sind unabhängig von der Geometrie, man kann sie auf jede beliebige (genügend "flache") Geometrie aufbringen.
 - Normal Maps kann man nur für genau die Geometrie verwenden, für die sie erzeugt wurden.

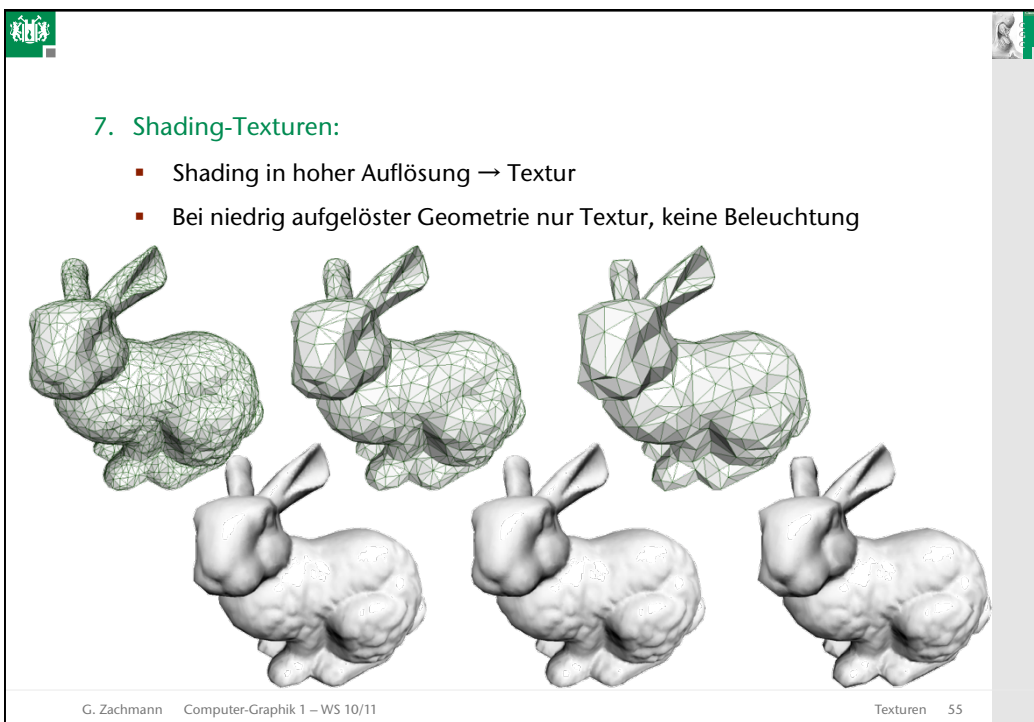
G. Zachmann Computer-Graphik 1 – WS 10/11 Texturen 52

Exkurs: Trompe l'œil - Malerei




Pere Borrell del Caso,
Der Kritik entfliehend, 1874

G. Zachmann Computer-Graphik 1 – WS 10/11 Texturen 53



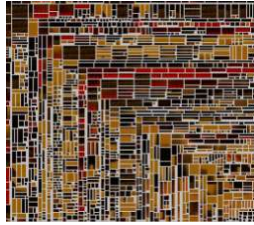
■ Light Maps:

- Zusätzliche Textur wird verwendet, um statische oder dynamische Illumination zur Szene hinzuzufügen



The diagram shows three square images in a row. The first image is a grayscale texture of a dome-like structure. The second image is a blue and purple light map with a bright square in the center. An asterisk (*) is between the first and second images, and an equals sign (=) is between the second and third images. The third image is the result of the multiplication, showing the dome texture with the light map's illumination applied.

- Man kann so leicht den Lichtschein eines Bullets wandern lassen
- Weil die Illumination räumlich nur niedrige Frequenzen hat, ist nur eine gering aufgelöste Textur erforderlich
- Viele kleine Light Maps können in eine große Textur verpackt werden
- Light Maps werden gewöhnlich mittels Raytracing oder Radiosity erzeugt

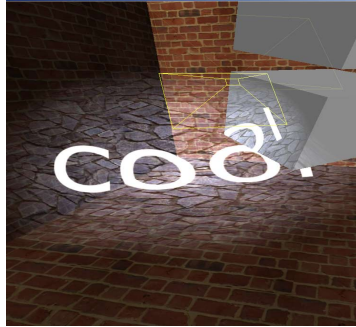


This image shows a large, square texture composed of many small, rectangular tiles of various colors (red, yellow, black, white, blue, green). The tiles are arranged in a grid-like pattern, creating a complex, abstract texture.

G. Zachmann Computer-Graphik 1 – WS 10/11 Texturen 57

10. Modulation von Lichtquellenparametern:

- Idee: Lichtquellenparameter durch Texturen zu beeinflussen.
- Besonders anschaulich ist dies bei Projektorlichtquellen. Dabei greift man mittels des Lichtvektors in die Textur und moduliert damit die Lichtemission:

$$L'_i = C_{tex}(f^{-1}(l_i)) \cdot L_i$$


The image shows a 3D scene with a brick wall and a floor made of cobblestones. A projector light source is positioned in the scene, casting a beam of light onto the wall and floor. The floor has a sign that says 'COOL!' in white letters. The light from the projector is modulated by the texture of the floor, creating a bright spot on the sign.

G. Zachmann Computer-Graphik 1 – WS 10/11 Texturen 58

Texturen in Open GL

- Als erstes muss eine Textur auf die Graphikkarte geladen werden:


```
glTexImage(1,2)D( target, level, internal, width,
                  [height,] border, format, type, data )
```

target = GL_TEXTURE_1D, GL_TEXTURE_2D, ...
level = 0 bzw. der zu definierende MipMap Level (später)
internal = Anzahl der Komponenten der Textur: 1, 2, 3, 4, GL_RGB, GL_LUMINANCE, GL_R3_G3_B2...
width & height muß = $2^n + 2 * \text{border}$ sein!
 (gluScaleImage() kann Bilder skalieren helfen)
border = Breite des Randes, 0 oder 1
format = was steht pro Pixel im Speicher: GL_RGB, GL_RGBA, GL_BGR, ...
type = Typ der Pixel: GL_UNSIGNED_BYTE, GL_FLOAT, ...
data = Adresse der Pixeldaten im Hauptspeicher

G. Zachmann Computer-Graphik 1 – WS 10/11 Texturen 59

- Textur einschalten:


```
glEnable( GL_TEXTURE_{12}D )
```
- Zu jedem Eckpunkt gehört eine Texturkoordinate:

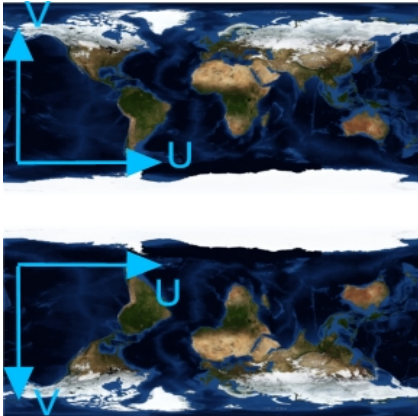

```
glTexCoord{1234}f[v] ( value )
```

 - das Bild liegt dabei im Bereich $[0,1] \times [0,1]$
 - im Normalfall werden nur die ersten beiden (u und v) verwendet
 - die dritte (q) wird für 3D-Texturen benötigt, die vierte (r = wie die homogene Koordinaten) nur für Spezialeffekte
- Achtung: OpenGL hat keinen Image-Loader!
 - Aber: Qt bietet hier Funktionen an (oder andere Libs)
 - Oder: `glCopyTexImage2D(...)` liest Bild aus Framebuffer in Texturspeicher

G. Zachmann Computer-Graphik 1 – WS 10/11 Texturen 60

Orientierung

- Der Fluch der Orientierung:
 - OpenGL Orientierung
 - Orientierung des Bild-Arrays nach dem Laden
- Achtung: Qt's `bindTexture` spiegelt das Bild, bevor es zur Graphikarte geschickt wird! Evtl. besser "von Hand" binden ...



G. Zachmann Computer-Graphik 1 – WS 10/11 Texturen 61

Die Texturmatrix

- Neben den Matrizen `GL_MODELVIEW` und `GL_PROJECTION` unterstützt OpenGL eine eigene „globale“ Matrix für Texturen:


```
glMatrixMode( GL_TEXTURE )
```
- Die Texturkoordinaten werden vor Benutzung mit dieser Matrix multipliziert
- Anwendung: sich bewegende Texturen, z.B. Wellen auf einer Oberfläche

G. Zachmann Computer-Graphik 1 – WS 10/11 Texturen 62

Beeinflussung der Pixelfarbe in OpenGL

- Funktion:

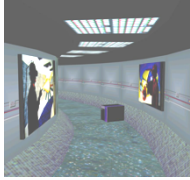

```
glTexEnvi( GL_TEXTURE_ENV,
            GL_TEXTURE_ENV_MODE, value )
```
- 4 Möglichkeiten für *value*:
 - GL_REPLACE**: Texelfarbe ersetzt Pixelfarbe (am häufigsten)
 - GL_MODULATE**: komponentenweise Mult. von *T* und *F*

$$T_{RGB} \cdot F_{RGB}$$
 - GL_DECAL**:

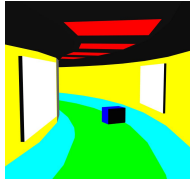
$$\alpha_T \cdot T_{RGB\alpha} + (1 - \alpha_T) \cdot F_{RGB\alpha}$$
 - GL_BLEND**:

$$F_{RGB} \cdot (1 - T_{RGB}) + C_{RGB} \cdot T_{RGB}$$
 und *C* wird definiert über


```
glTexEnvfv( GL_TEXTURE_ENV,
             GL_TEXTURE_ENV_COLOR, value )
```



T = Texelfarbe



F = Pixelfarbe ohne Textur

G. Zachmann Computer-Graphik 1 – WS 10/11 Texturen 63

Koordinaten-Wrap

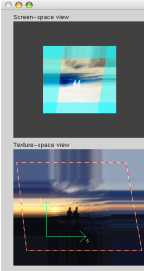
- Was geschieht, wenn Texturkoordinaten außerhalb $[0,1] \times [0,1]$ definiert werden?


```
glTexParameterf( GL_TEXTURE_{12}D, name, value )
```

name = **GL_TEXTURE_WRAP_{ST}**

value = **GL_CLAMP**: Werte <0 werden auf 0, Werte >1 auf 1 gezogen

value = **GL_REPEAT**: nur der Nachkommaanteil wird verwendet



```
GLfloat border_color[] = { 1.00, 0.00, 0.00, 1.00 };
GLfloat env_color[] = { 0.00, 0.00, 0.00, 1.00 };
glTexParameterf( TEXTURE_ID, GL_TEXTURE_BORDER_COLOR, border_color );
glTexParameterf( TEXTURE_ID, GL_TEXTURE_ENV_COLOR, env_color );
glTexParameteri( TEXTURE_ID, GL_TEXTURE_MIN_FILTER, GL_LINEAR );
glTexParameteri( TEXTURE_ID, GL_TEXTURE_MAG_FILTER, GL_NEAREST );
glTexParameteri( TEXTURE_ID, GL_TEXTURE_WRAP_S, GL_CLAMP );
glTexParameteri( TEXTURE_ID, GL_TEXTURE_WRAP_T, GL_CLAMP );
glTexParameterf( TEXTURE_ID, GL_TEXTURE_ENV_MODE, GL_BLEND );

glTexParameteri( TEXTURE_ID, GL_TEXTURE_WRAP_S, GL_REPEAT );
glColor4f( 1.00, 1.00, 1.00, 1.00 );
glBegin( GL_POLYGON );
glTexCoord2f( -0.3, -0.2 ); glVertex3f( -1.0, -1.0, 0.0 );
glTexCoord2f( 1.4, -0.2 ); glVertex3f( 1.0, -1.0, 0.0 );
glTexCoord2f( 1.2, 1.3 ); glVertex3f( 1.0, 1.0, 0.0 );
glTexCoord2f( -0.5, 1.3 ); glVertex3f( -1.0, 1.0, 0.0 );
glEnd();
```

<http://www.xmission.com/~nate/tutors.html>

G. Zachmann Computer-Graphik 1 – WS 10/11 Texturen 64

Textur-IDs

- Während des Renderings einer Szene benötigt man viele verschiedene Texturen
- Jedesmal `glTexImage2D()` ist ineffizient
- Lösung: alle Texturen gleichzeitig auf der Karte halten
- IDs generieren:


```
glGenTextures( GLint n, GLuint * indices )
```

 findet `n` unbenutzte Textur-IDs und legt sie in `indices` ab
- Umschalten der aktuell aktiven Textur:


```
glBindTexture( GL_TEXTURE_{12}D, GLuint id )
```
- Achtung: **dadurch werden alle Textur-relevanten Teile des Zustandes umgeschaltet!**

G. Zachmann Computer-Graphik 1 – WS 10/11 Texturen 65

Zusammen:

```

unsigned int tex[N];
glGenTextures( N, tex );
glBindTexture( GL_TEXTURE_2D, tex[0] );
pixels = loadImage(...);
glTexImage2D( GL_TEXTURE2D,
              0,           // mipmap level
              3,           // components [1,2,3,4]
              width, height, border,
              format,      // of the pixel data (GL_RGB..)
              type,        // GL_FLOAT...
              pixels );    // the data
glTexParameteri( GL_TEXTURE_2D, GL_TEXTURE_WRAP_S, GL_CLAMP );
...                       // more params (e.g. glTexEnv)
glBindTexture( GL_TEXTURE_2D, tex[1] );
pixels = loadImage(...);
glTexImage2D( GL_TEXTURE2D, ... );
  
```

G. Zachmann Computer-Graphik 1 – WS 10/11 Texturen 66


```

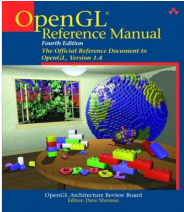
// 1-tes Objekt
glBindTexture( GL_TEXTURE_2D, tex[0] );
glBegin( GL_... )
    glTexCoord2f(...);
    glNormal3f(...);
    glVertex3f(...);
    ...
glEnd();
// 2-tes Objekt
glBindTexture( GL_TEXTURE_2D, tex[1] );
glBegin( GL_... )
    glTexCoord2f(...);
    glNormal3f(...);
    glVertex3f(...);
    ...
glEnd();

```

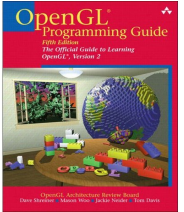
G. Zachmann Computer-Graphik 1 – WS 10/11 Texturen 67

Zum Nachlesen


- Texturierung an sich ist eine sehr mächtige (und etwas komplexe) Technik
- Texturierung in OpenGL ist – zwangsläufig – etwas komplexer als die meisten anderen Teile des APIs
- Besser vor einer Implementierung nochmals nachlesen



Auch als HTML auf der Homepage der CG-1-Vorlesung



Man Pages



Oder im Netz unter <http://www.opengl.org/sdk/docs/man/>

G. Zachmann Computer-Graphik 1 – WS 10/11 Texturen 68